



# modelli oppure (?!) misure dirette?

Galileo (fine del XVI secolo) iniziò la rivoluzione (completata da Newton circa 1 secolo dopo) che ha elevato l'induzione al di sopra della deduzione: nascita del moderno metodo scientifico





JRC – Ispra



# Metodo scientifico

Asimov (1984 - Guide to science/Libro di Fisica):

- 1. raccogliere osservazioni
- 2. ordinarle
- 3. trovare una legge in grado di spiegarle



Cosa significa trovare una legge in grado di spiegare delle osservazioni?

IPC - lenro

oint Research



### Einstein sul metodo di Galileo

Si è spesso dichiarato che Galileo divenne il padre della scienza moderna sostituendo il metodo speculativo o deduttivo con il metodo empirico o sperimentale. Credo invece che questa interpretazione non sia in grado di reggere a un esame accurato. Non esiste alcun metodo sperimentale in mancanza di concetti e sistemi speculativi, e non esiste alcuna forma speculativa di pensiero i cui concetti non rivelino, ad esami accurati, il materiale empirico da cui emergono. Il fatto di porre in contrasto netto fra loro l'apparecchio empirico e quello deduttivo è fuorviante, ed era del tutto estraneo allo stesso Galileo."

(Albert Einstein)

JRC – Ispra 5



### Galileo e la modellistica

"La filosofia [!!!] è scritta in questo grandissimo libro che continuamente ci sta aperto innanzi a gli occhi (io dico l'universo), ma non si può intendere se prima non s'impara a intendere la lingua, e conoscer i caratteri, ne' quali è scritto. Egli è scritto in lingua matematica, e i caratteri sono triangoli, cerchi, ed altre figure geometriche, senza i quali mezi è impossibile a intenderne umanamente parola; senza questi è un'aggirarsi vanamente per un oscuro labirinto."

(Galileo Galilei, Il Saggiatore ~1620)

IDC - Jenro 6



# Cosa ha spinto la nascita e lo sviluppo dei modelli di sistemi colturali / 1

### Effettuare misure

- 1. Determinazione delle dimensioni del campione (Confalonieri, 2004; Confalonieri et al., 2006; http://agrifish.jrc.it/marsstat/warm/archive.htm) e di adeguati schemi di campionamento
- 2. Raccogliere i campioni
- 3. Immagazzinare/conservare i campioni
- 4. Analizzarli
- 5. Registrare i dati in modo sensato
- 6. Post-processamento dei dati

JRC – Ispra 7

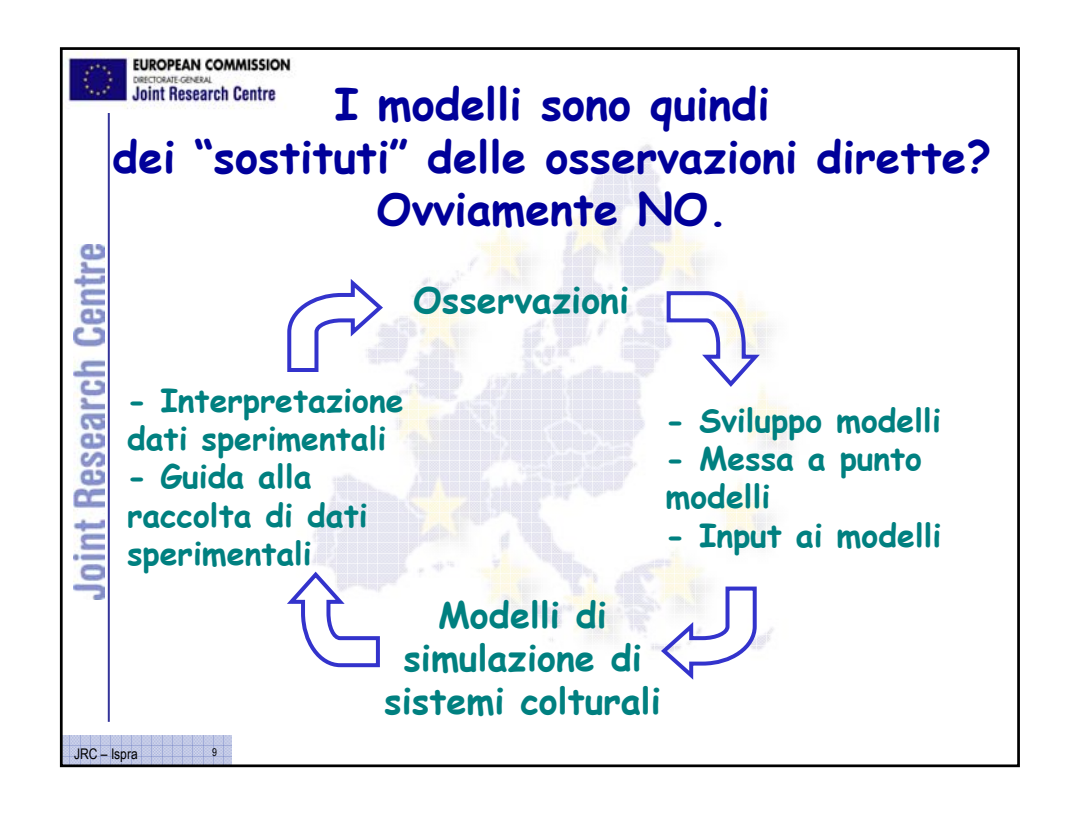


# Cosa ha spinto la nascita e lo sviluppo dei modelli di sistemi colturali / 2

### Realtà dei fatti

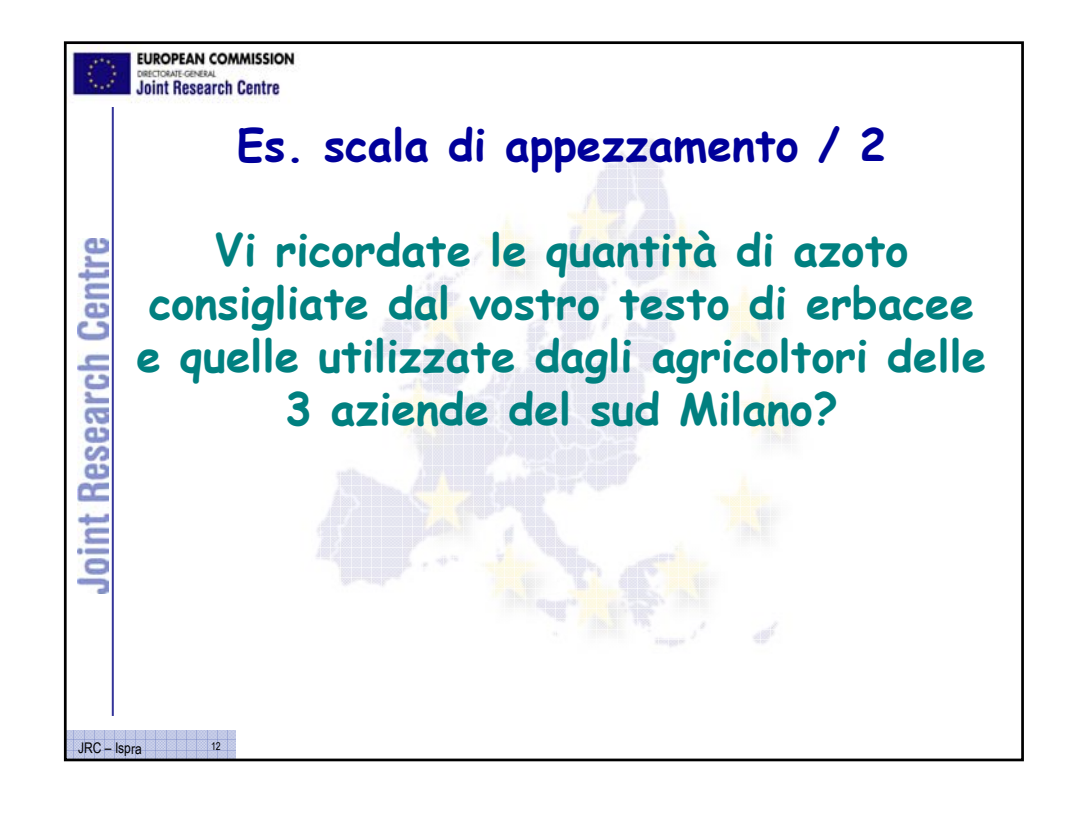
- 1. Bisogno di indicazioni rapide (quasi in tempo reale) su ciò che sta accadendo in una determinata situazione o su ciò che cambierà in rapporto a perturbazioni del sistema (analisi di scenari)
- 2. Limitatezza delle risorse per osservazioni dirette (soprattutto per valutazioni a larga scala)

IPC - Jenro 8











Es. scala di appezzamento / 3

Durante il corso un modello di simulazione sarà utilizzato per compilare piani di concimazione e di irrigazione.

Poi ragioneremo e cercheremo di tirare delle conclusioni sulla concimazione del mais

IRC - Isnra 13





EUROPEAN COMMISSION
DRECTORATE-GENERAL
Joint Research Centre

### Es. scala aziendale / 2

Nel 2001 si è aperto un contenzioso tra il comune di Milano e 4 (+ 3) aziende del sud Milano per via della gestione "anomala" della roggia Vettabbia.

In questa parte di nord Italia, riso e mais sono tra le colture più rappresentate.

Il comune ha bloccato l'approvvigionamento idrico mentre queste colture si trovavano nelle fasi di accestimento (riso) - 4° foglia e la levata.

JRC – Isnra 15



### Es. scala aziendale / 3

Gli agricoltori proprietari delle aziende hanno intentato una causa contro il comune di Milano per essere rimborsati e attraverso la il loro principale rappresentante, hanno contattato il DiProVe per ottenere una perizia nella quale le perdite fossero stimate in modo quantitativo e oggettivo

IPC - lenro 1



### Es. scala aziendale / 4

Essendo stato il 2001 un anno poco piovoso nel periodo di interesse, gli agricoltori temevano infatti che la controparte attribuisse le colpe della mancata produzione all'annata invece che alla gestione della Vettabbia.

In pratica, hanno chiesto di quantificare le perdite effettivamente dovute al particolare andamento pluviometrico e quelle dovute invece alla gestione della roggia in questione.

IRC - Isnra 17

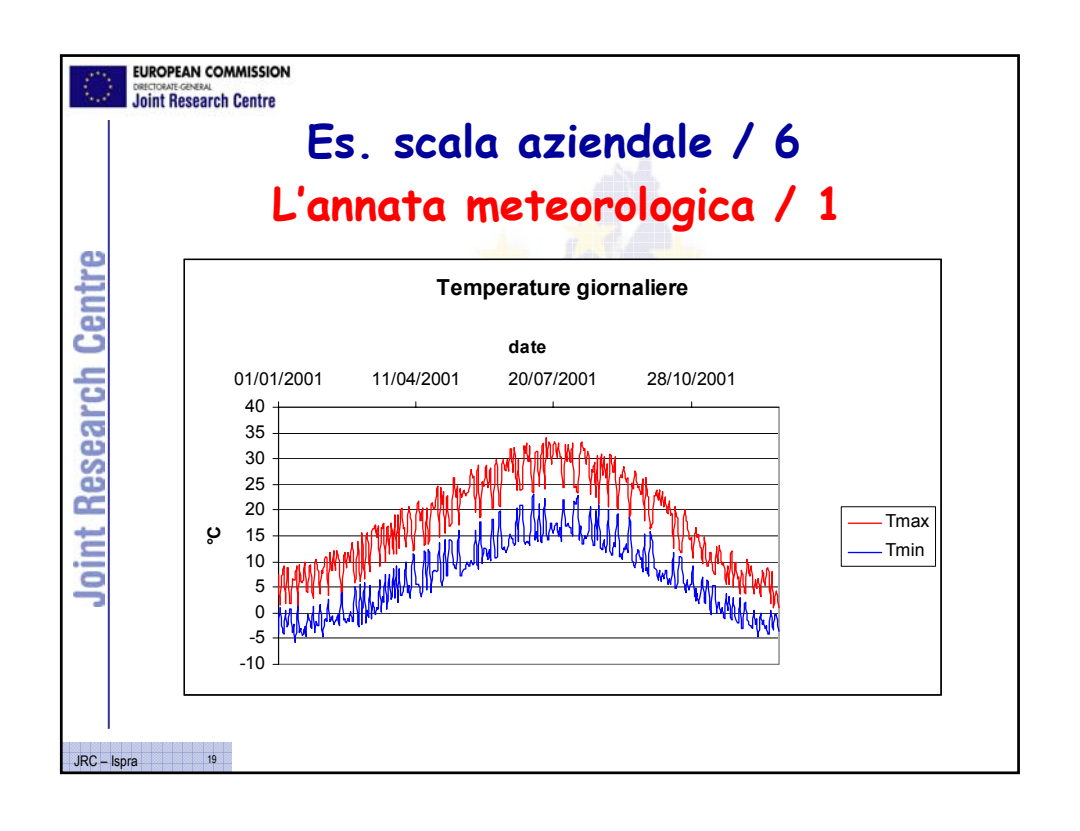


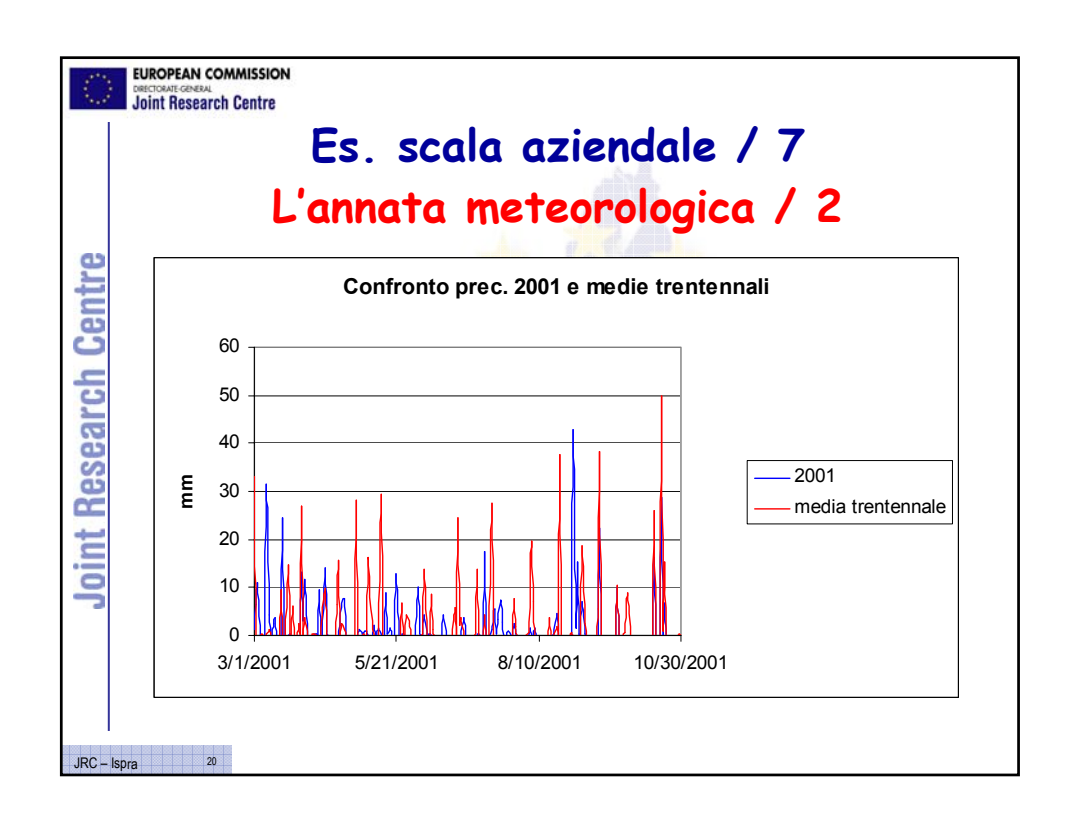
### Es. scala aziendale / 5

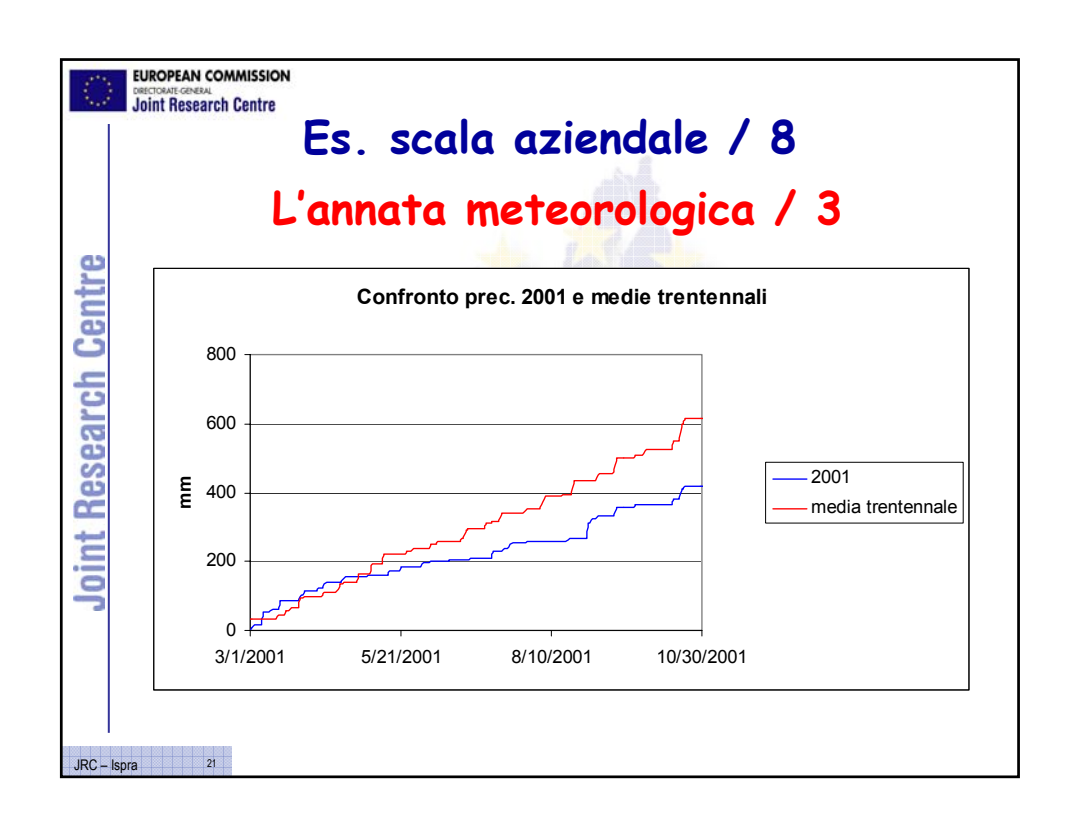
# I dati disponibili

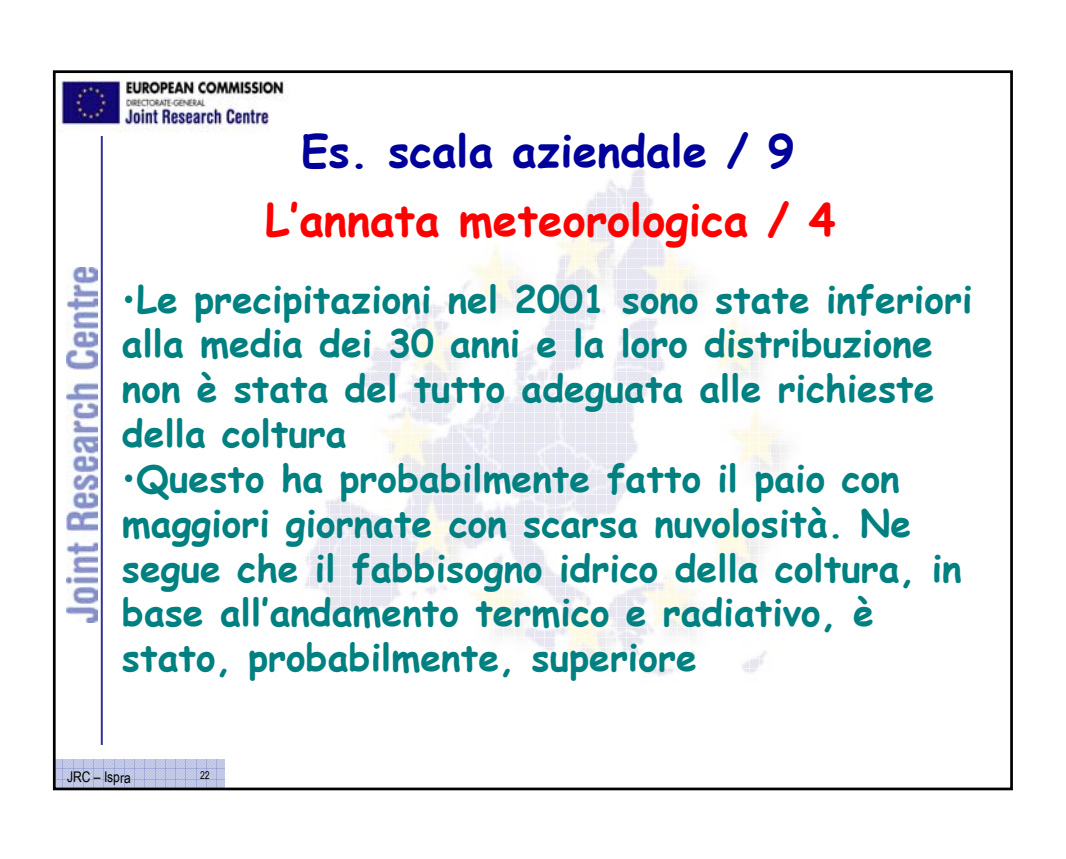
- ·Agrotecniche da interviste agli agricoltori
- ·Dati meteo da stazione di Landriano (PV)
- ·Dati sui profili da carta dei suoli Regione Lombardia
- ·Parametri colturali (nota la varietà) da calibrazioni effettuate in Dipartimento

IPC - lenro 1











### Es. scala aziendale / 10

# L'annata meteorologica / 5

·Per mais (ho perso i risultati delle simulazioni ed i relativi file necessari per le simulazioni) si era dimostrato che l'annata influiva solo per una piccola parte delle perdite produttive totali. Il resto era dovuto alla mancata disponibilità idrica ·Essendo il riso normalmente irrigato nel territorio interessato, la tesi della controparte, ovviamente, non regge: a meno di annate drammaticamente siccitose, le riserve idriche sono in grado di assicurare la completa sommersione delle risaie

IRC - Isnra 23



### Es. scala aziendale / 11

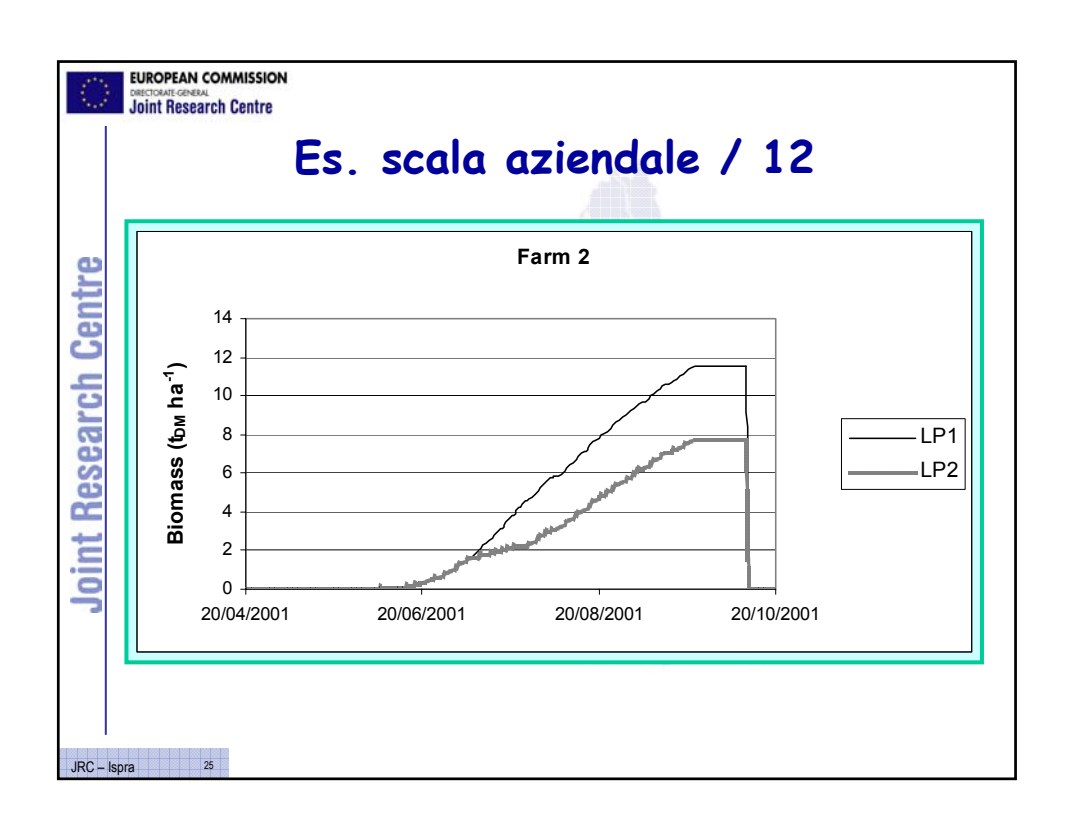
Per prima cosa, le rese dichiarate dagli agricoltori sono state "validate" analizzando i risultati di simulazioni effettuate con CropSyst in configurazione livello produttivo potenziale

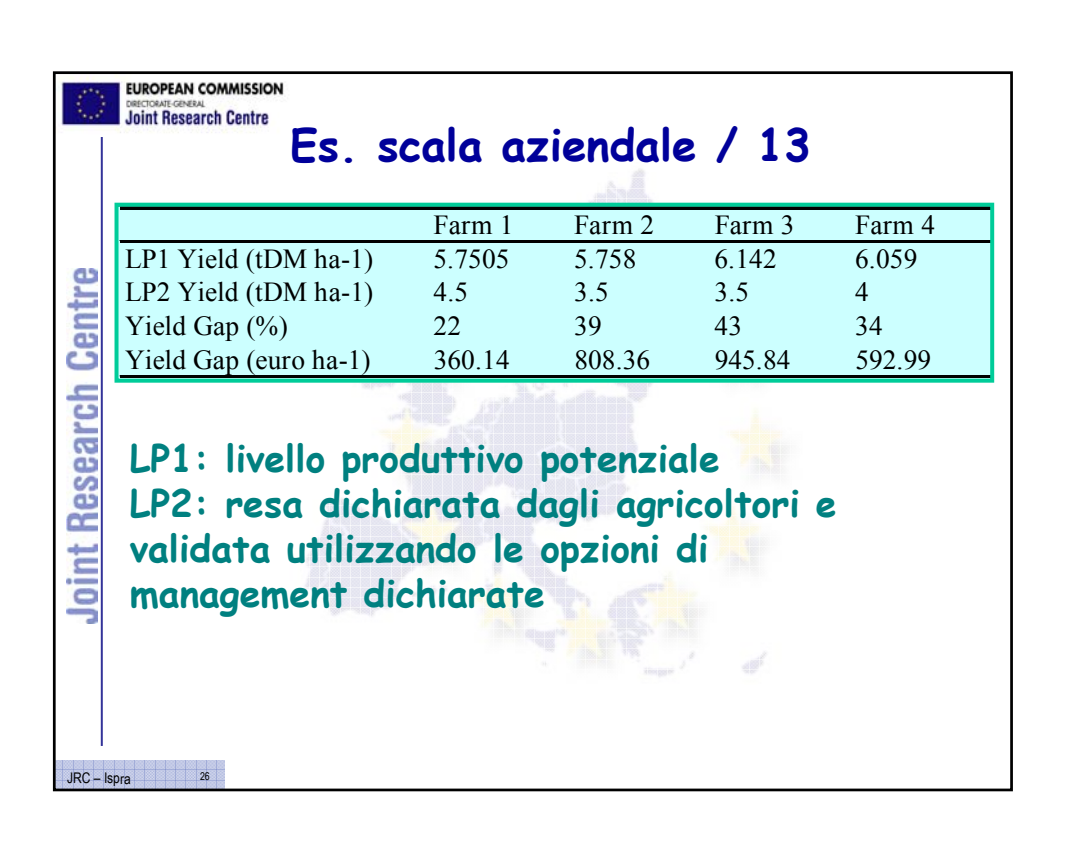
Farm 1 Farm 2 Farm 3 Farm 4

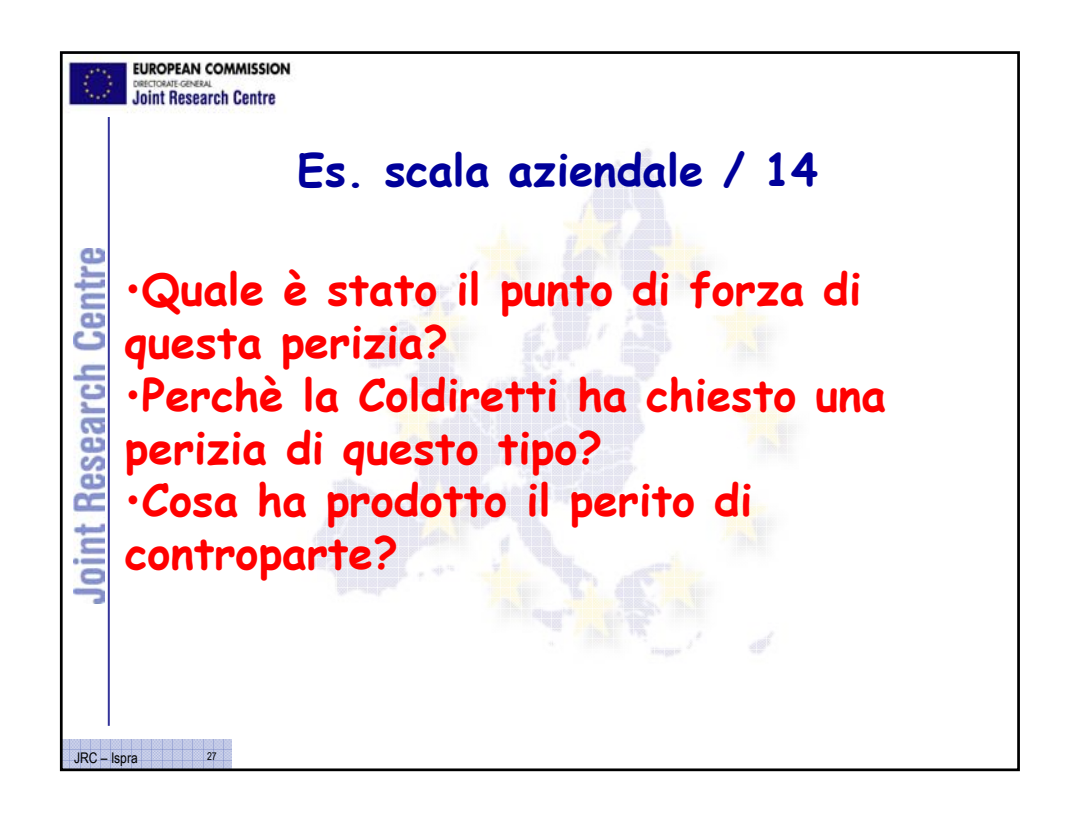
	Farm 1	Farm 2	Farm 3	Farm 4
Simulated Yield (t ha-1)	4.453	3.8455	3.4405	3.736
Unofficial Yield (t ha-1)	4.5	3.5	3.5	4

IPC - Jenro 2

oint

















# EUROPEAN COMMISSION Modelli di simulazione Joint Research Centre di sistemi colturali: come scegliere? / 1 La qualità degli output dipende: - dall'adeguatezza del modello - dalla sua robustezza

- da come è stato parametrizzato
- dalla qualità degli input

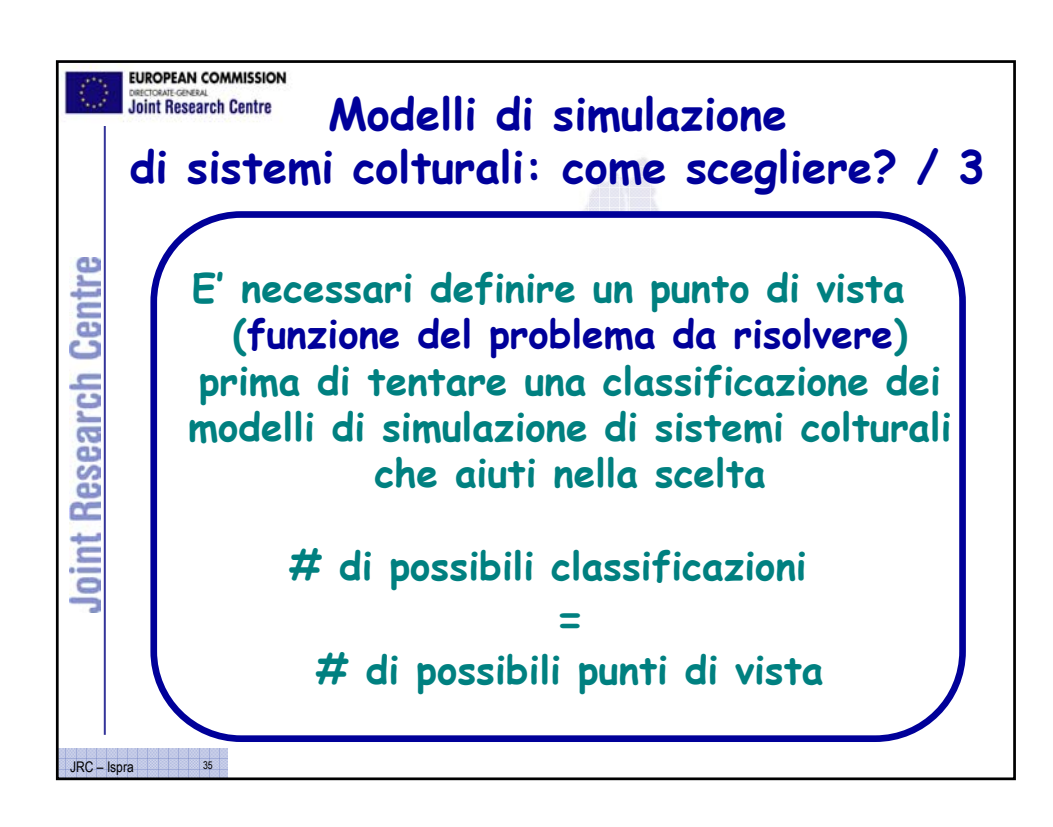
EUROPEAN COMMISSION

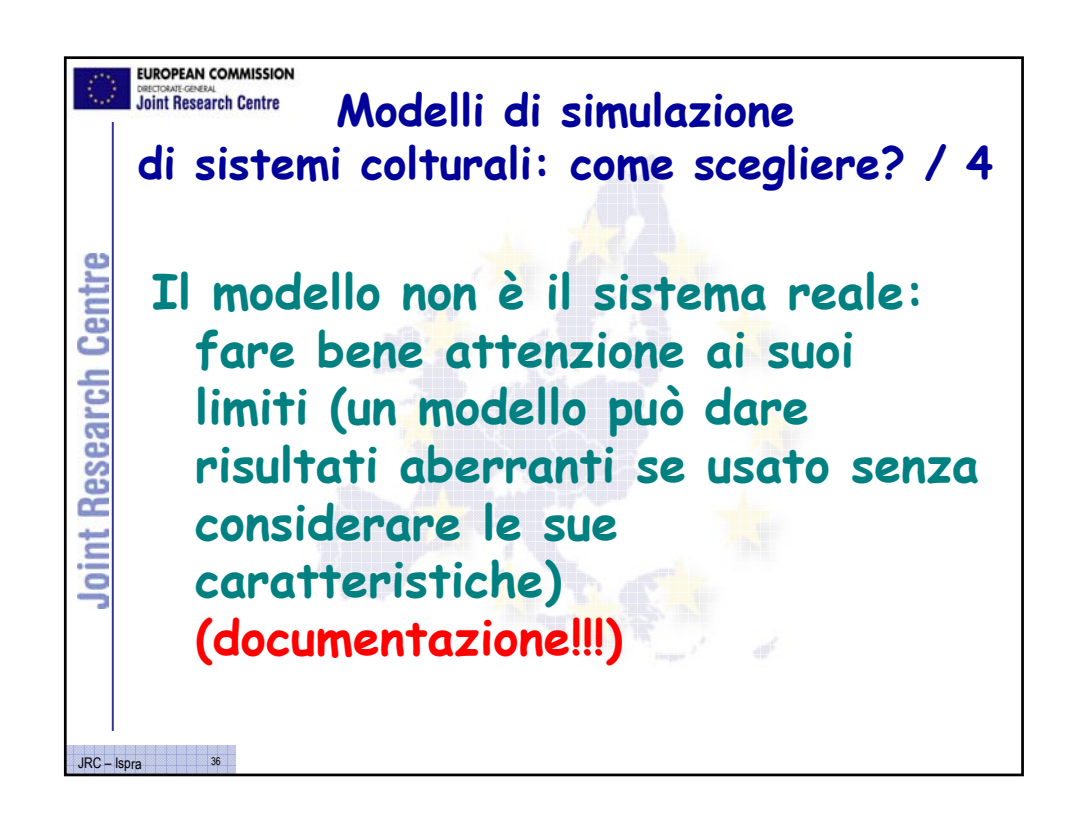
Modelli di simulazione di sistemi colturali: come scegliere? / 2

Per poter scegliere un modello bisogna

- aver chiaro il problema da risolvere
- derivarne il criterio più adatto di classificazione

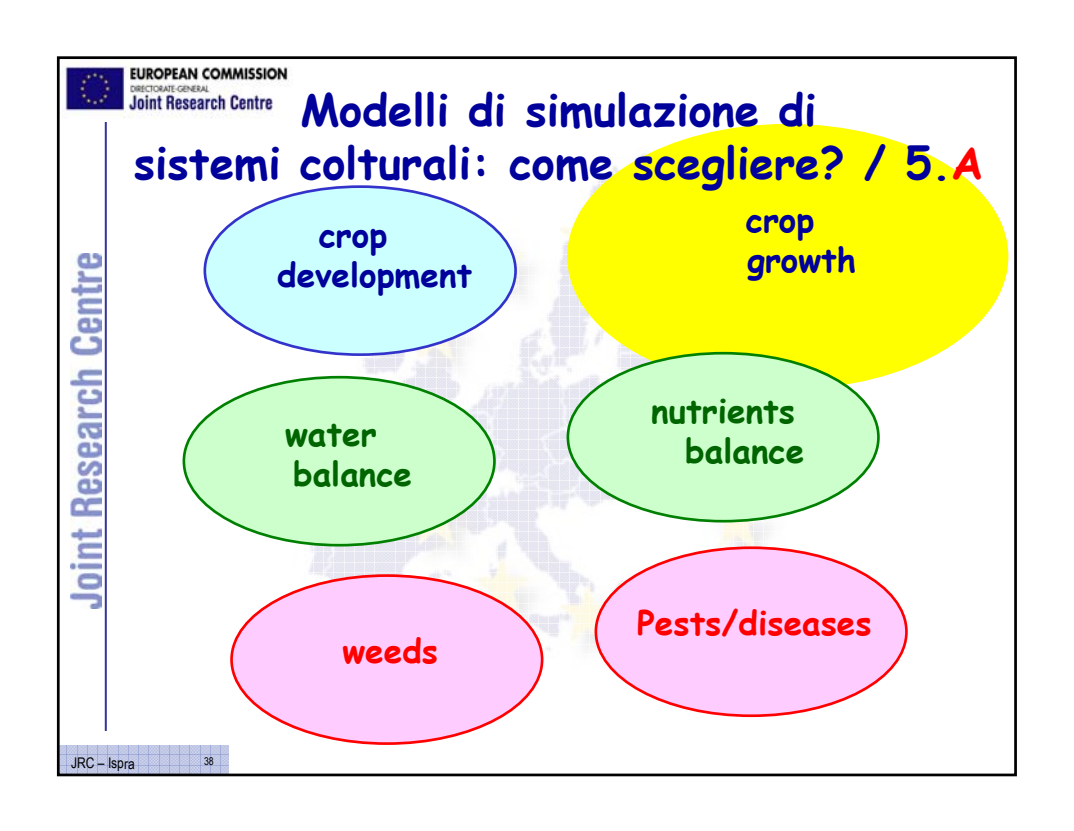
Joint Research Centre



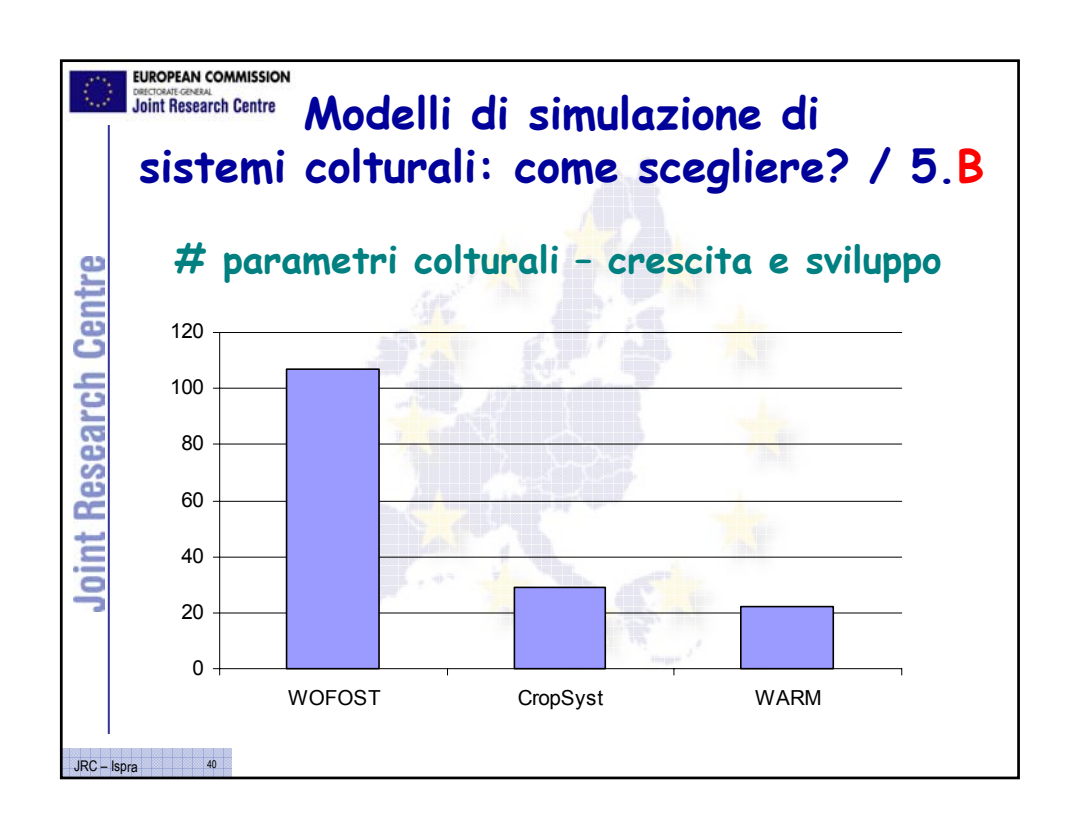


# Dint Research Centre Modelli di simulazione di sistemi colturali: come scegliere? / 5 Criteri proposti da van Ittersum et al. (2003): - una gerarchia dei fattori di produzione (A) - obiettivi del modello, scala e livello di dettaglio nella rappresentazione dei processi (B) - campo di applicazione, i.e. ricerca,

didattica, supporto alle decisioni (C)

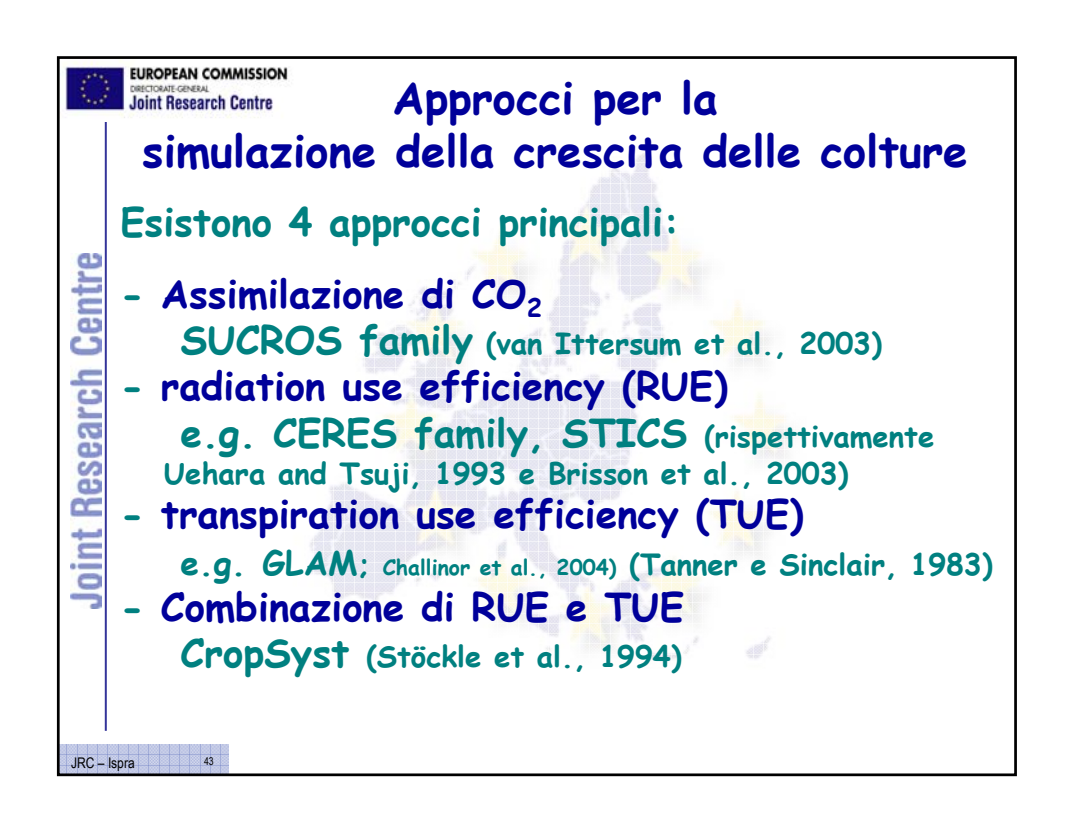


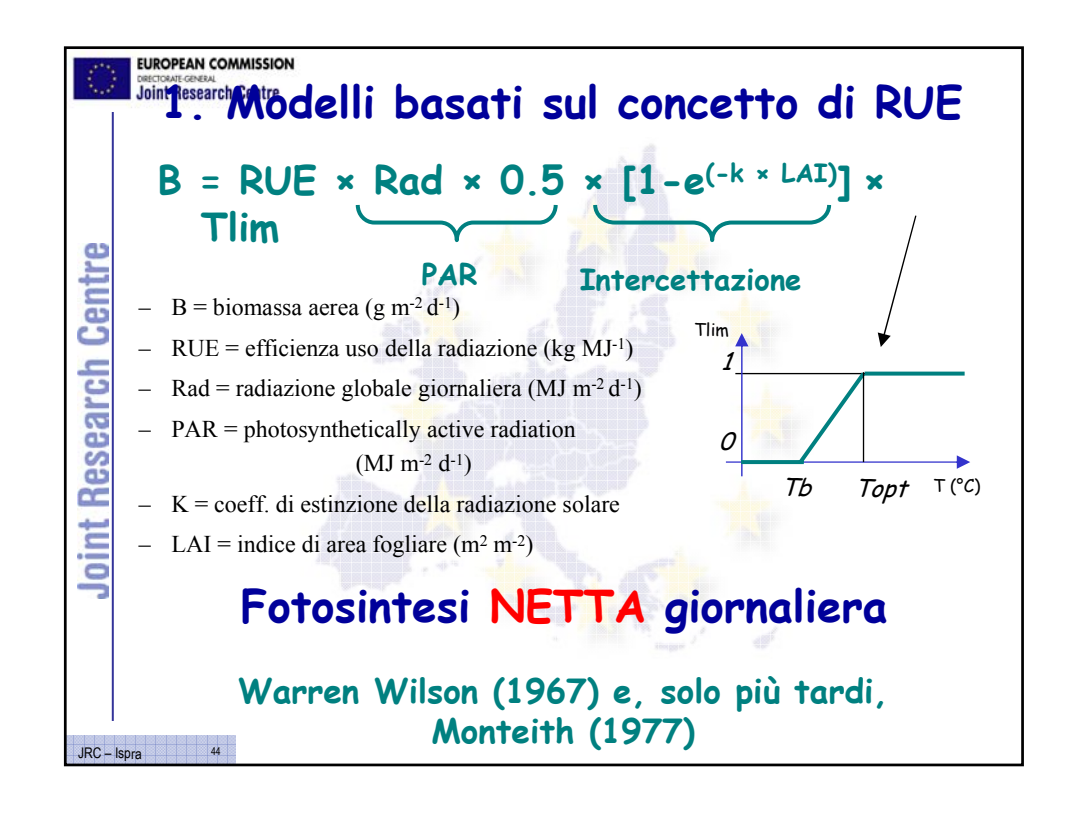
# Diettivi: voglio valutare scenari gestionali? Scenari climatici? Tentare di guidare i breeders? Valutare gli effetti della coltivazione in ambienti collinari? Voglio simulare una sola coltura? Ecc. - Scala e livello di dettaglio: disponibilità input, numero e grado di "stimabilità" dei parametri

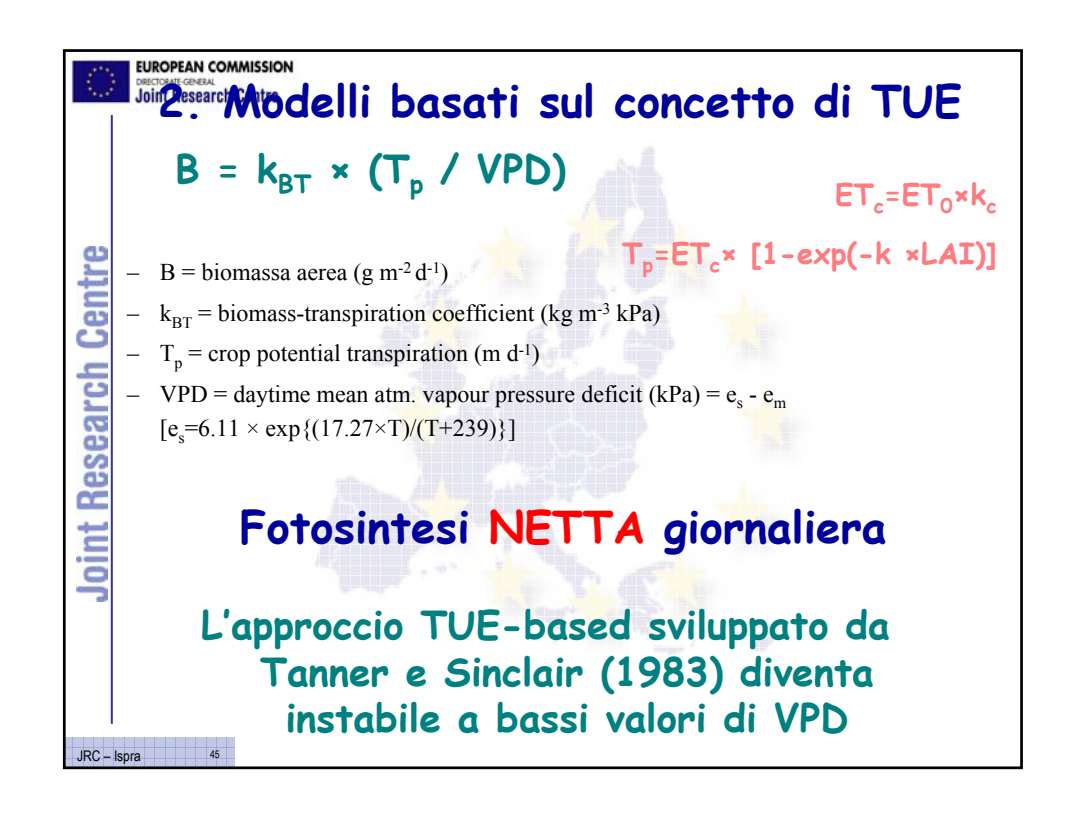


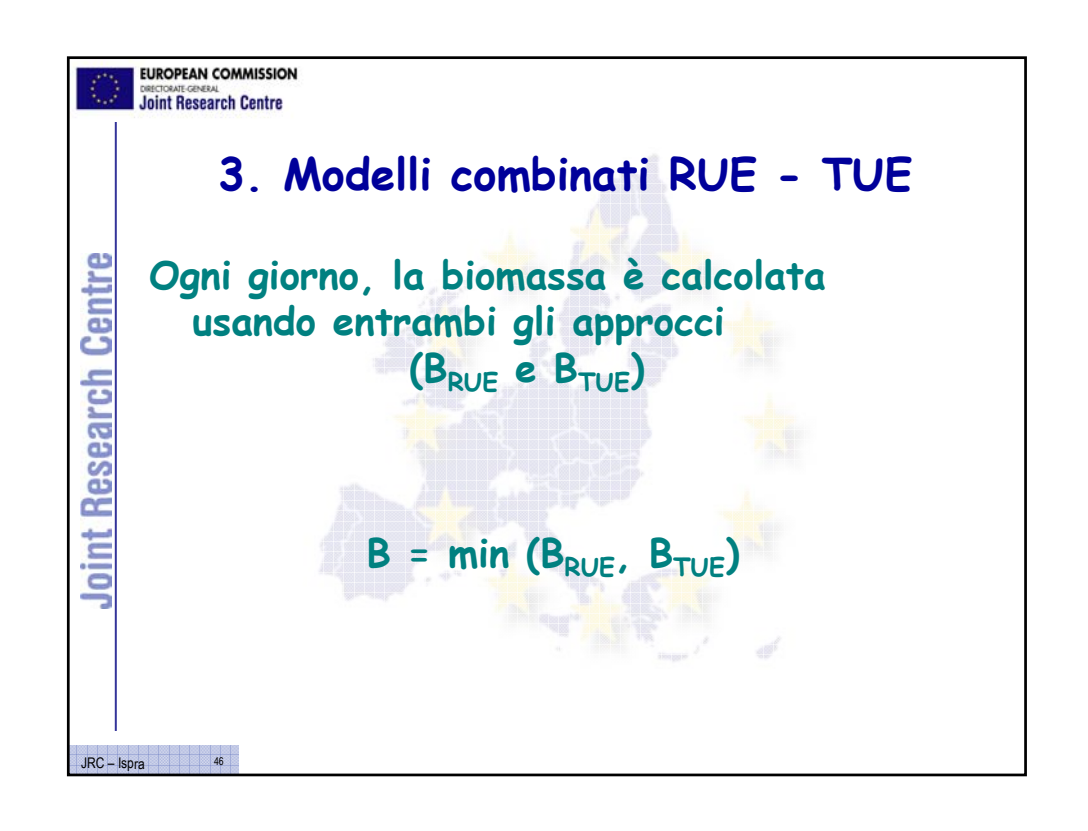


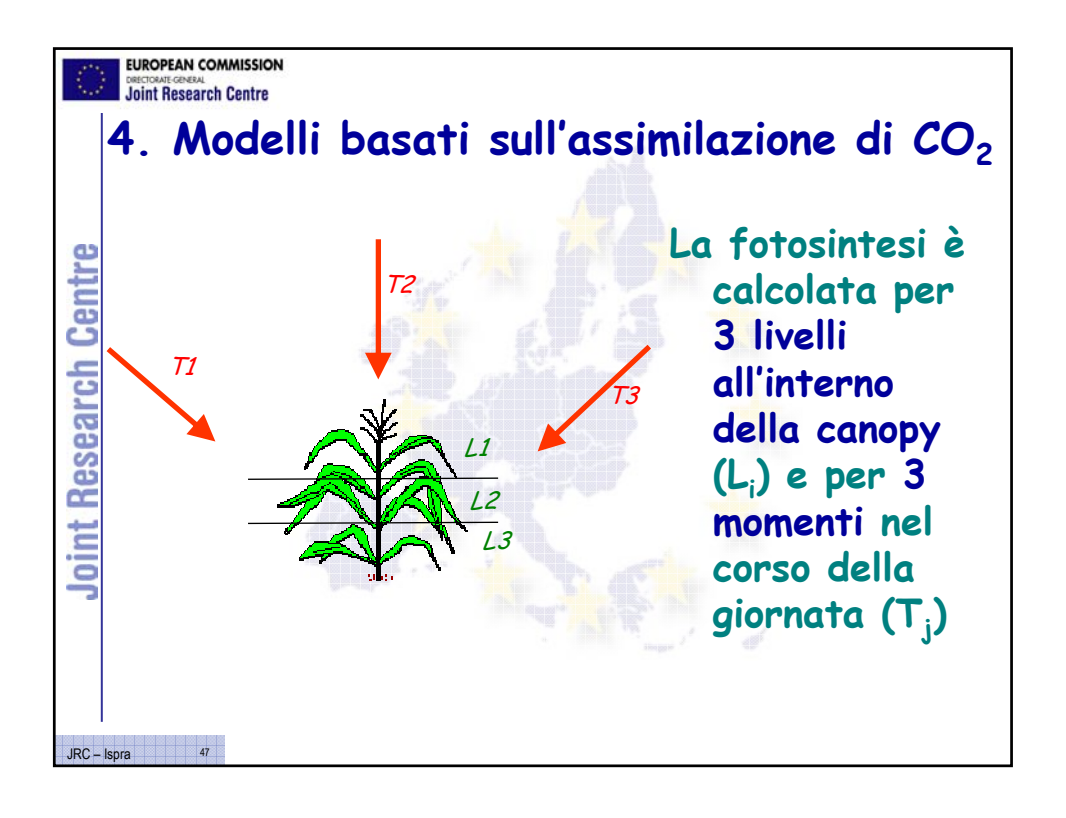


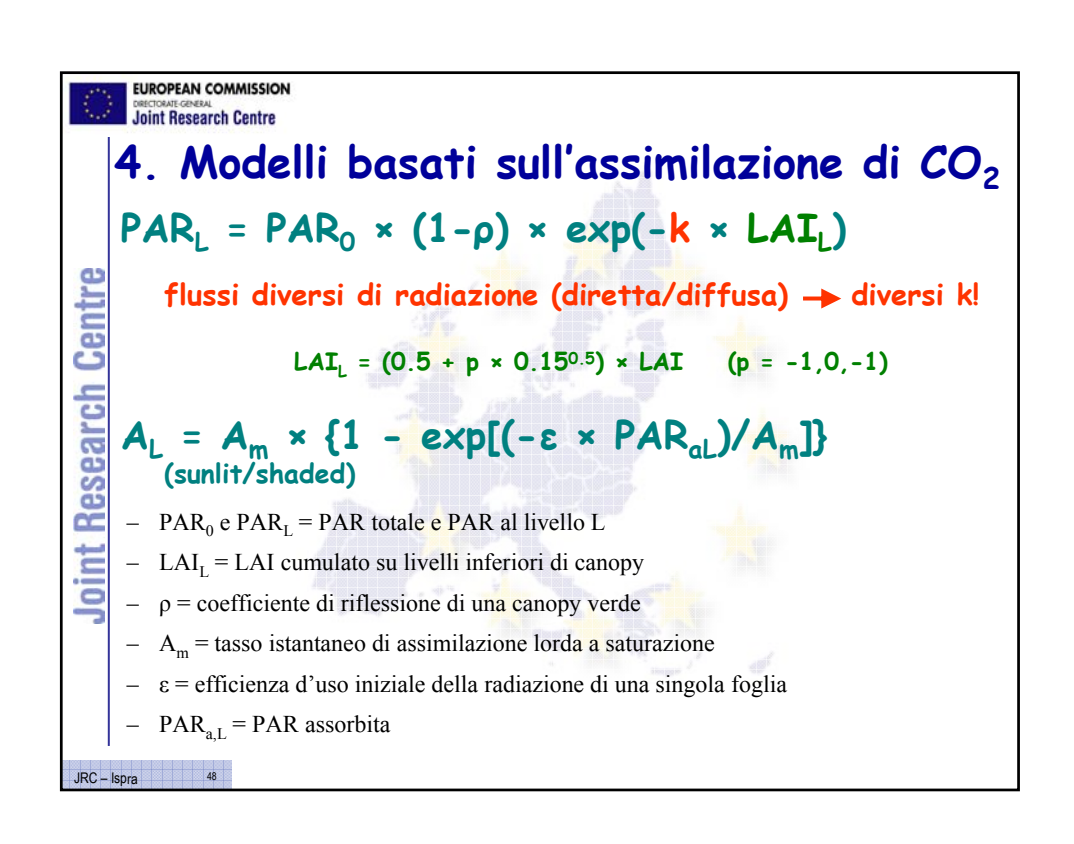


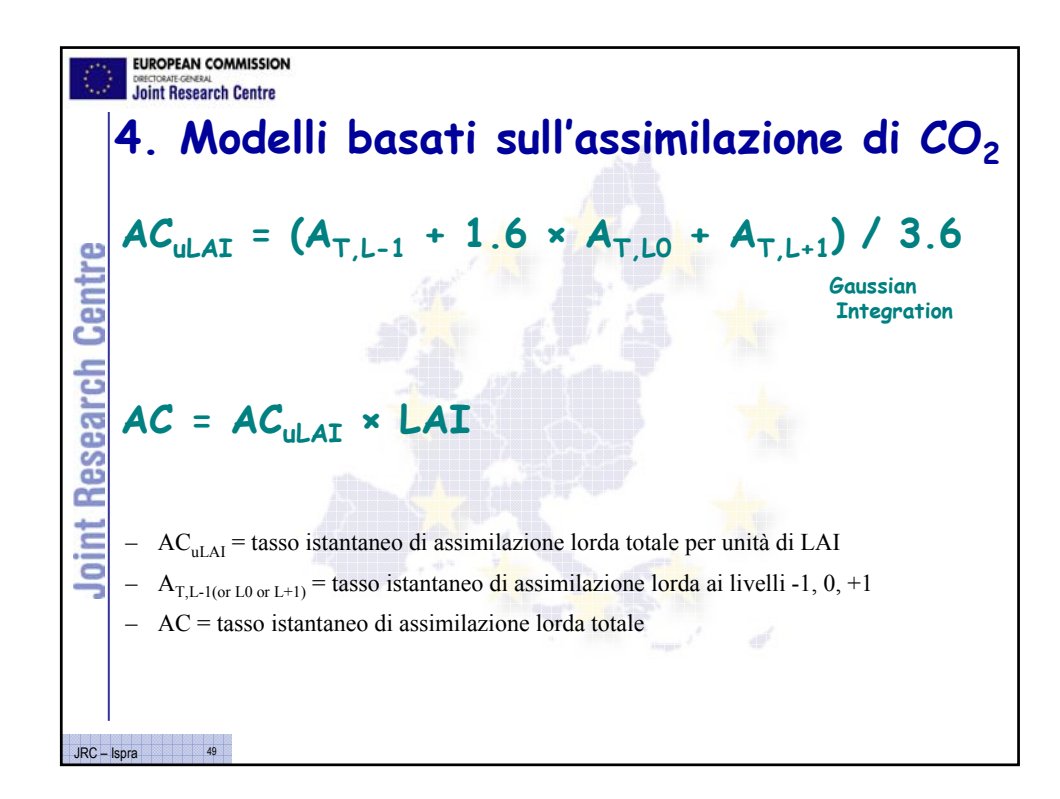




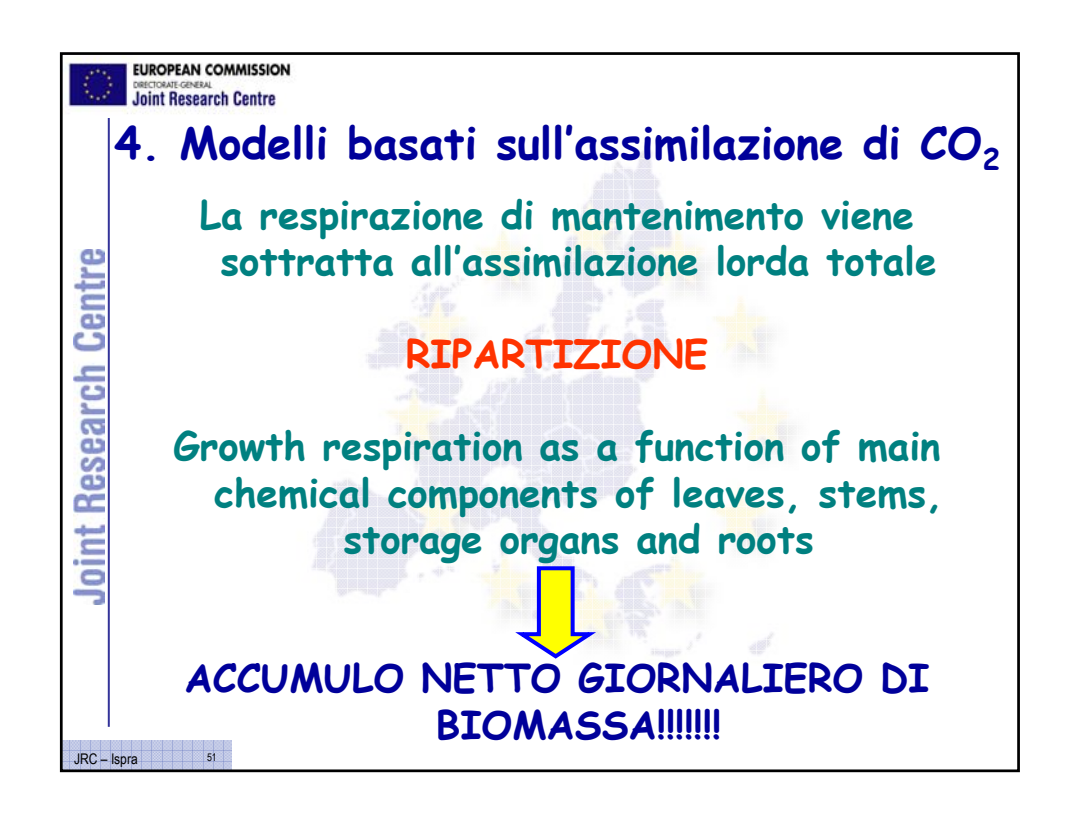


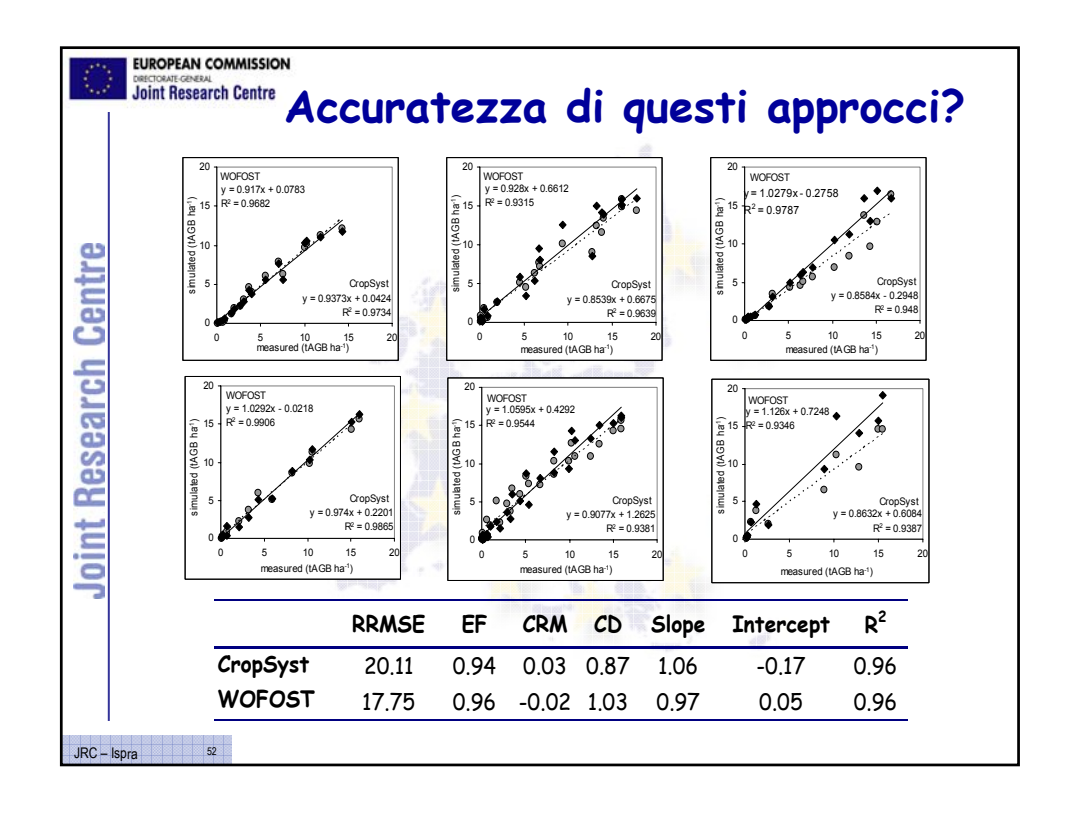












Parameter         Determination         Value         Units           Group of varieties         JE³ JM³ I³** JE³ JM³* I³**         JM³* J***         J***           Photosynthetic pathway         /         C3         /           Above ground biomass-transpiration coefficient (BTR)         D         5         kPa kg m³           Light to above ground biomass conversion (LTBC)         D         0.5         /           Actual to potential transpiration ratio that limits leaf area growth         D         0.95         /           Actual to potential transpiration ratio that limits root growth         D         0.5         /           Optimum mean daily temperature for growth (Topt)         C         28         28         27         °C           Maximum water uptake         D         1200         J kg¹         mm day¹           Leaf water potential at the onset of stomatal closure         D         1200         J kg¹           Wilting leaf water potential         D         1800         J kg¹           Maximum rooting depth         E         0.3         m           Fraction of max. LAI at physiological maturity         E         0.5         /           Specific leaf area (SLA)         C         C         M         27.0         29.5 <t< th=""><th></th><th></th><th></th><th>ation</th><th></th><th>Value</th><th></th><th>Units</th></t<>				ation		Value		Units
Photosynthetic pathway		IE*			IE*			· · · · · · · · · · · · · · · · · · ·
Above ground blomass-transpiration coefficient (BTR)  Light to above ground blomass-conversion (LTBC)  Actual to potential transpiration ratio that limits leaf area growth  Actual to potential transpiration ratio that limits leaf area growth  D  O,95  Actual to potential transpiration ratio that limits root growth  Optimum mean daily temperature for growth (Topt)  C  28  28  27  C  Maximum water uptake  D  13  mm day¹  mm day¹  Milting leaf water potential  Maximum rooting depth  E  O,3  m  Fraction of max. LAI at physiological maturity  E  O,5  /  Specific leaf area (SLA)  Specific leaf area (SLA)  Stem/Leaf partition coefficient (SLP)  C  4,5  3,0  1,5  Leaf duration  C  700  850  950  C-days  Extinction coefficient at uli canopy  D  Degree days Emergence  M  800  950  893  C-days  Degree days Peak LAI  Degree days Begin flowering  M  864  1020  825  625  624  625  626  627  639  639  639  639  639  639  639  63		JE	JIVI /	- 100	JE			
Light to above ground biomass conversion (LTBC)  Actual to potential transpiration ratio that limits leaf area growth  Actual to potential transpiration ratio that limits leaf area growth  Optimum mean daily temperature for growth (Topt)  Optimum mean daily temperature for growth (Topt)  Maximum water uptake  Leaf water potential at the onset of stomatal closure  D  1200  J kg¹  Wilting leaf water potential  Maximum rooting depth  Fraction of max. LAl at physiological maturity  E  0.3  m  Fraction of max. LAl at physiological maturity  E  0.5  J  Specific leaf area (SLA)  StermLeaf partition coefficient (SLP)  C  4.5  StermLeaf partition coefficient (SLP)  C  Extinction coefficient for solar radiation (k)  D  0.5  J  ET crop coefficient at full canopy  D geree days Emergence  M  82  80  80  C-days  Degree days Eagin flowering  M  825  975  900  C-days  Degree days Begin flowering  M  864  BC2  C-days  Degree days Begin flowering  M  864  BC2  C-days  Degree days Begin flowering  M  864  BC2  C-days  Degree days Begin filling			D					kPa kg m <sup>-3</sup>
Actual to potential transpiration ratio that limits leaf area growth								
Actual to potential transpiration ratio that limits root growth  Optimum mean daily temperature for growth (Topt)  C 28 28 27 °C  Maximum water uptake  D 13 mm day¹  Leaf water potential at the onset of stomatal closure  Wilting leaf water potential  Maximum rooting depth  Fraction of max. LAI at physiological maturity  E 0.3 m  Fraction of max. LAI at physiological maturity  E 0.5 /  Specific leaf area (SLA)  Stem/Leaf partition coefficient (SLP)  C M 27.0 29.5 39.0 m² kg¹  Stem/Leaf partition coefficient (SLP)  C T00 850 950 C-days  Extinction coefficient at full canopy  D Degree days Emergence  M 82 80 80 C-days  Degree days Peak LAI  Degree days Begin flowering  M 864 1020 952 Septem C-days  Degree days Begin grain filling  M 864 1020 952 C-days								/
Maximum water uptake         D         13         mm day¹           Leaf water potential at the onset of stomatal closure         D         1200         J kg¹           Willing leaf water potential         D         1800         J kg¹           Maximum rooting depth         E         0.3         m           Fraction of max. LAl at physiological maturity         E         0.5         /           Specific leaf area (SLA)         C         M         27.0         29.5         39.0         m² kg¹           Stem/Leaf partition coefficient (SLP)         C         4.5         3.0         1.5         /           Leaf duration         C         700         850         950         C-days           Extinction coefficient for solar radiation (k)         D         0.5         /         /           ET crop coefficient at full canopy         D         1.05         /         /           Degree days Emergence         M         82         80         80         C-days           Degree days Peak LAI         M         800         950         Sedays         C-days           Degree days Begin flowering         M         82         975         900         C-days           Degree days Begin grain filling </td <td></td> <td></td> <td>D</td> <td></td> <td></td> <td>0.5</td> <td></td> <td>1</td>			D			0.5		1
Leaf water potential at the onset of stomatal closure	Optimum mean daily temperature for growth (Topt)				28	28	27	°C
Willing leaf water potential         D         1800         J kg¹           Maximum rooting depth         E         0.3         m           Fraction of max. LAI at physiological maturity         E         0.5         0.5           Specific leaf area (SLA)         C         C         M         27.0         29.5         39.0         m² kg¹           StermLeaf partition coefficient (SLP)         C         4.5         3.0         1.5         /           Leaf duration         C         700         850         950         C-days           Extinction coefficient for solar radiation (k)         D         0.5         /         /           ET crop coefficient at full canopy         D         1.05         /         /         /           Degree days Emergence         M         80         80         C-days         C-days           Degree days Peak LAI         M         800         950         C-days           Degree days Begin flowering         M         82         97         900         C-days           Degree days Begin filing in filling         M         864         1020         92-c         C-days			D			13		
Maximum rooting depth         E         0.3         m           Fraction of max. LAI at physiological maturity         E         0.5         /           Specific leaf area (SLA)         C         C         M         27.0         29.5         39.0         m² kg¹           Stem/Leaf partition coefficient (SLP)         C         4.5         3.0         1.5         /           Leaf duration         C         700         850         950         C-days           Extinction coefficient for solar radiation (k)         D         0.5         /         /           ET crop coefficient at full canopy         D         1.05         /         /           Degree days Emergence         M         82         80         80         C-days           Degree days Peak LAI         M         800         950         893         C-days           Degree days Begin flowering         M         82         975         900         C-days           Degree days Begin grain filling         M         864         1020         952         C-days	Leaf water potential at the onset of stomatal closure					1200		
Fraction of max. LAI at physiological maturity   E   0.5								
Specific leaf area (SLA)								m
StemLeaf partition coefficient (SLP)								2, 1
Leaf duration         C         700         850         950         C-days           Extinction coefficient for solar radiation (k)         D         0.5         /           ET crop coefficient at full canopy         D         1.05         /           Degree days Emergence         M         82         80         80         C-days           Degree days Peak LAI         M         800         950         893         C-days           Degree days Begin flowering         M         825         975         900         C-days           Degree days Begin grain filling         M         864         1020         952         C-days		С		M				
Extinction coefficient for solar radiation (k)								
ET crop coefficient at full canopy D 1.05 / Degree days Emergence M 82 80 80 C-days Degree days Peak LAI M 800 950 893 C-days Degree days Begin flowering M 825 975 900 C-days Degree days Begin filling M 864 1020 952 C-days					700		900	l -uays
Degree days Emergence         M         82         80         C-days           Degree days Peak LAI         M         800         950         893         C-days           Degree days Begin flowering         M         825         975         900         C-days           Degree days Begin grain filling         M         864         1020         952         C-days								i
Degree days Begin flowering M 825 975 900 C-days Degree days Begin grain filling M 864 1020 952 C-days			M		82	80	80	C-days
Degree days Begin grain filling M 864 1020 952 C-days								
Degree days Physiological maturity W 1087 1500 1328 C-days								
Page temperature (Thage)								
					12		12	
Cutoff temperature (Tcutoff) 42 °C	Unstressed harvest index		M		0.6	0.48	0.48	ī
	Maximum N concentration during early growth	E	Е	М	0.050	0.050	0.036	kgN kgAGB <sup>-1</sup>
Unstressed harvest index M 0.6 0.48 0.48 /		Е	Е	M	0.012	0.012	0.008	kaN kaAGB <sup>-1</sup>
Unstressed harvest index M 0.6 0.48 0.48 / Maximum N concentration during early growth E E M 0.050 0.050 0.036 kgN kgAGB <sup>-1</sup>	Minimum N concentration at maturity	E	E	M		0.007		kgN kgAGB <sup>-1</sup>
Base temperature (Tbase) E 12 11 12 °C	Degree days Peak LAI  Degree days Begin flowering  Degree days Begin grain filling  Degree days Physiological maturity  Base temperature (Tbase)  Cutoff temperature (Toutoff)  Unstressed harvest index	E	M M M E L	М	800 825 864 1087 12 0.6	950 975 1020 1500 11 42 0.48	893 900 952 1328 12 0.48	C-days C-days C-days C-days °C °C
Cutoff temperature (Tcutoff) L 42 °C	Unstressed harvest index		M		0.6	0.48	0.48	1
	Maximum N concentration during early growth	E	E	M	0.050	0.050	0.036	kgN kgAGB <sup>-1</sup>
Unstressed harvest index M 0.6 0.48 0.48 /								
Unstressed harvest index M 0.6 0.48 0.48 / Maximum N concentration during early growth E E M 0.050 0.050 0.036 kgN kgAGB <sup>-1</sup>					0.012		0.008	
Unstressed harvest index	* Japonica, early	E	E	M	income "	0.007	900	Kgn kgagb





# Bibliografia

- Asimov, I., 1984. Asimov's new guide to science. Basic Books, New York, USA.
- Brisson, N., Gary, C., Justes, E., Roche, R., Mary, B., Ripoche, D., Zimmer, D., Sierra, J., Bertuzzi, P., Burger, P., Bussière, F., Cabidoche, Y.M., Cellier, P., Debaeke, P., Gaudillère, Hénault, C., Maraux, F., Seguin, B., Sinoquet, H., 2003. An overview of the crop model STICS. European Journal of Agronomy, 18, 309-332.
- Challinor, A.J., Wheeler, T.R., Craufurd, P.Q., Slingo, J.M., Grimes, D.I.F., 2004. Design and optimization of a large-scale process-based model for annual crops. Agricultural and Forest Meteorology, 124, 99-120.
- Confalonieri, R., 2004. A jackknife derived visual approach for sample size determination. Rivista Italiana di Agrometeorologia, 1, 9-13.
- Confalonieri, R., Stroppiana, D., Boschetti, M., Gusberti, D., Bocchi, S., Acutis, M., 2005. Analysis of rice sample size variability due to development stage, nitrogen fertilization, sowing technique and variety using the visual jackknife. Field Crops Research, article in press.
- Monteith, J.L., 1977. Climate and the efficiency of crop production in Britain. Philos. Trans. R. Soc. London, Ser. B. Biol. Sci. 281 (980), 277-294.
- Stöckle, C.O., Martin, S.A., Campbell, G.S., 1994. CropSyst, a cropping systems simulation model: water/nitrogen budgets and crop yield, Agricultural Systems, 46, 335-359.
- Tanner, C.B., Sinclair, T.R., 1983. Efficient water use in crop production: research or re-search? In: Taylor, H.M., Jordan, W.R., Sinclair, T.R. (Eds.). Limitations to efficient water use in crop production. Amer. Soc. Agron, Madison, WI.
- Uehara, G., Tsuji, G.Y., 1993. The IBSNAT project. In Systems approaches for sustainable agricultural development, eds F.W.T. Penning de Vries, P. Teng, and K. Metselaar. Kluwer Academic Publisher, Dordrecht, The Netherlands. pp. 505-513.
- van Ittersum, M.K., Leffelaar, P.A., Van Keulen, H., Kropff, M.J., Bastiaans, L., Goudriaan, J., 2003.
  On approaches and applications of the Wageningen crop models. European Journal of Agronomy, 18, 201-234.
- Warren Wilson, J., 1967. Ecological data on dry-matter production by plants and plant communities. p. 77-123. In E.F. Bradley and O.T. Denmead (ed.). The collection and processing of field data.

  Interscience Publishers, New York.

JRC – Ispra